

بررسی تأثیرشکستگی‌های تکتونیکی در قابلیت نفوذ پذیری سنگ مخزن و بهره برداری از نفت (مطالعه موردی: میدان نفتی سوروم)

دکتر مجتبی یمانی* - دانشیار دانشکده جغرافیا، دانشگاه تهران

حسین اینالو** - دانشجوی دوره دکتری جغرافیا، دانشگاه تهران

دریافت مقاله: ۸۳/۵/۱۱

تأیید نهایی: ۸۳/۱۲/۲۴

چکیده

در این مقاله تأثیر شرایط تکتونیک بر خواص پتروفیزیکی طبقات و به ویژه درافق مخزنی سروک میدان نفتی سوروم واقع در استان چهارمحال و بختیاری مورد بررسی قرار گرفته است. مشخصات زمین ساختی تاقدیس سوروم تابع رویدادهای رژیم تکتونیکی خاص حاشیه کمر بند تراست زاگرس مرتفع می‌باشد. تأثیرات سطحی و تحت الارضی حاصل از نیروهای کمپرسیونی و ژئودینامیک ناشی از اقیانوس زایی در دریای سرخ موجب تکوین شرایط ساختمانی خاص واحد فلزی و بروز مشخصات پتروفیزیکی با پیچیدگی زیاد گردیده است. تخلخل ثانویه که به دوران پس از دیبازن و فاز دیاستروفیسم مربوط می‌شود، در مقایسه با درصد تخلخل اولیه ناچیز سازند مخزنی سروک (۲٪) در این میدان نفتی حائز اهمیت اساسی می‌باشد. نتایج مطالعات میدانی و بررسی اطلاعات بدست آمده از حفاری هشت چاه اکتشافی حاکی از قابلیت نفوذپذیری نسبتاً زیاد در این ساختار نفتی است. مطالعه ژئوفیزیکی هندسه تاقدیس و بررسی و مقایسه گوارشات حفاری و به خصوص حجم هدر رفت گل حفاری، علائمی از توزیع نسبتاً زیاد شبکه شکستگی دربخش هایی از محور تاقدیس و حریم فعالیت گسل های ایجاد شده در آن می‌باشد. به همین دلیل میزان هدر رفت گل در چاه هایی که پیرامون گسل ویا بر روی محور تاقدیس حفاری شده، نشانه بالا بودن قابلیت نفوذ پذیری سیال در سازند مخزنی سروک است که بهره برداری از منابع هیدرولوژیکی آن با حصول اطمینان از ابعاد و بستگی مخزن توجیه اقتصادی خواهد داشت. واژگان کلیدی: زاگرس مرتفع، تکتونیک فلزی، میدان نفتی سوروم، شکستگی سنگ مخزن، گل حفاری.

مقدمه

یکی از فاکتورهای مهم در تکوین واحدهای مرفلوژیک، خواص پتروفیزیکی سازندها در برابر نیروهای ژئودینامیک است. واحدهای لیتلولوژیک دارای خواص پتروفیزیکی متفاوتی هستند و در محیط‌های گوناگون کلیماتیک، آب،

* Email: myamani@ut.ac.ir

** Email: Hinanloo@yahoo.com

هوای درجه حرارت، فشار و ... از خود واکنش و خواص متفاوتی بروز می‌دهند. درصد تخلخل^۱، قابلیت نفوذپذیری^۲، الاستسیته^۳، درجه تردیت و شکنندگی^۴، شکل ذرات^۵، توزیع دانه بندی^۶، کیفیت سیمان بین ذرات^۷، فشردگی^۸، اتصال کانی‌ها و اجزاء سنگ^۹ با یکدیگر، میزان انحلال^{۱۰}، ... از خواص مهم پتروفیزیکی سنگ‌ها محسوب می‌شوند. این دست از خواص سنگ‌ها نقش تعیین کننده‌ای در مکانیسم‌های مرفوژنر به عهده دارند (رجائی ۱۳۷۱، ص ۲۲). جریان سیالات زیر زمینی نظیر هیدرولوژی کارستی و هیدرولکربورها نیز تحت تأثیر خواص مزبور تغییر پیدا می‌کنند. میزان قابلیت نفوذ سیالات تابع کمیت و کیفیت درصد تخلخل سازند های زمین شناسی است که از نسبت حجم فضاهای خالی سنگ به حجم کل آن بدست می‌آید. سنگ‌ها دارای دو دسته از تخلخل می‌باشند: یک گروه از آنها به تخلخل اولیه^{۱۱} معروف است و به شرایط رسوبگذاری و فرایندهای دیاژنر بستگی دارد. دسته دوم تخلخل ثانویه^{۱۲} سنگ است و به دوران پس از دیاژنر و جنبش‌های چین خوردگی^{۱۳} و دیاستروفیسم^{۱۴} و نیز فعالیت‌های تکتونیکی ارتباط دارد.

خواص پتروفیزیکی سنگ‌ها در شرایط سطح الارضی - تحت الارضی و زمین شناسی نفت چندان دستخوش تغییر قرار نمی‌گیرد و تجزیه و تحلیل تأثیر فعالیت‌های تکتونیک بر روی آنها، فصول مشترک زیادی دارند. بهره برداری از سنگ‌های حاوی منابع هیدرولکربوری^{۱۵}، زمانی میسر و توجیه اقتصادی دارد که واجد خواص پتروفیزیکی لازم و خلل و فرج با ابعاد و کیفیت مورد نیاز باشد تا قابلیت تجمع و ذخیره ترکیبات نفت و گاز در این فضاهای امکان پذیر گردد. به علاوه، شبکه‌های درز و شکافی که فضاهای تخلخل را به یکدیگر مرتبط سازد، ضروری است. به عنوان مثال، سنگ مخزنی که از پومیس^{۱۶} تشکیل شود دارای شرایط لازم برای جریان سیال و بهره برداری از آن نخواهد بود؛ زیرا با وجود فضای متخخل زیاد، به علت نبود ارتباط شبکه‌ای در بین فضاهای خالی، امکان عبور سیال در این سنگ بوجود نمی‌آید. همچنین شیل را نمی‌توان یک سنگ مخزن نفتی متعارف بشمار آورد؛ زیرا تخلخل ریز و نیروی کاپیلاریته زیادی که بوجود خواهد آمد، حجم زیادی از سیال را در خود جذب کرده و بیرون کشیدن نفت از فضای خلل و فرج مزبور، نظیر زدودن اثر جوهر از اسناد ثبتی خواهد بود.

¹ - porosity

² - Permeability

³ - Elasticity

⁴ - Brittle

⁵ - Form of grains

⁶ - Form and particle size

⁷ - Cementation

⁸ - Compaction

⁹ - Sorting

¹⁰ - Solution

¹¹ - Primary porosity

¹² - Secondary porosity

¹³ - Folding

¹⁴ - Diastrophism

¹⁵ - Reservoir rock

¹⁶ - Pumice

این مقاله، با استفاده از نتایج مشاهدات میدانی، مطالعه اطلاعات تولید شده (شرکت آجیپ، ۱۹۷۶-۱۹۷۲) از حفاری ۸ حلقه چاه اکتشافی با عمق ۴۴۹۱ تا ۲۰۲۱ متر از سطح، و نیز اسناد فنی طرح توسعه میدان زاگرس مرتفع (شرکت پتروفک و موسسه جهاد تحقیقات، ۱۳۸۲)، و انجام مقایسه و پردازش های مقتضی بر روی اطلاعات و اسناد فنی مذکور، کمک گرفتن از تصاویر ماهواره ای و نمایش سه بعدی واحد های مرفولوژی و گسیختگی های سطحی به منظور تبیین شکستگی های تکتونیکی تاقدیس بزرگ شوروم و تاثیر آن بر روی قابلیت نفوذ پذیری سنگ مخزن را مورد بررسی قرار داده است.

شرایط ساختمانی و تکتونیکی

تاقدیس پشت نهنگی شوروم دارای امتداد شمالغرب-جنوبشرق می باشد و ابعاد آن در سطح به طول ۴۸ و به عرض ۶ کیلومتر است. ساختمان شوروم در زاگرس مرتفع و در منطقه غرب کوه دنا واقع شده است. این ساختمان در امتداد محور تاقدیس که اغلب منطبق بر خط تقسیم آب است، بیش از ۳۰۰۰ متر نسبت به سطح آزاد دریاها بالا آمده است. جنبش های زمین ساختی و وقوع راندگی^۱ در لبه شمالشرقی واحد فلسفی^۲ زاگرس (ابرلندر^۳، ۱۹۹۹، ص ۳۶) در تکوین شرایط مرفولوژیک آن تأثیر گذار بوده است. ساخت های مرفولوژیکی واحد های فلسفی در این منطقه تابع یک الگوی فضایی ویژه ای است و در نوع خود از اشکال کم نظیر مرفولوژیک بشمار می رود. ساختارهای تاقدیسی _ ناودیسی فشرده و باریک^۴، روی هم سوار شدگی پولکی شکل واحدهای ناهمواری (شکل شماره ۱) از مشخصات بارز بخش زیادی از واحدهای مرفولوژیک این منطقه از زون زاگرس بشمار می رود. تکوین چنین مناظری از اشکال ناهمواری و وقوع چین خورده^۵ با درجات گوناگونی از شدت، از نتایج جنبش های چین خورده^۶ که از پرمین آغاز شده، توصیف کرده اند (درویش زاده ۱۳۷۰، ص ۶۷).

در طی این فرایند، تأثیر اقیانوس زایی در دریای سرخ با نیروهای کمپرسیونی، پلیت عربی را به زیر پوسته ایران مرکزی رانده و ساخت چین خورده زاگرس با کیفیت گوناگون را بوجود آورده است.

پردازش خطواره های^۷ تصویر ماهواره ای، نوار فشرده ای از اشکال فلسفی در منطقه شوروم را نشان می دهد؛ به طوری که، ساختمان شوروم، جبهه اصلی و لبه جلوی آن را تشکیل داده است. چندین گسل که با گسیختگی های سطحی نیز همراه است، با امتداد شمالغرب - جنوبشرق در این ساخت دیده می شود (شکل های ۲ و ۳). شرایط کوهستانی سخت و صعب العبور در بخش های زیادی از تاقدیس مانع از مشاهد و مقایسه پدیده های ژئومرفولوژیکی است.

¹ - Thrust

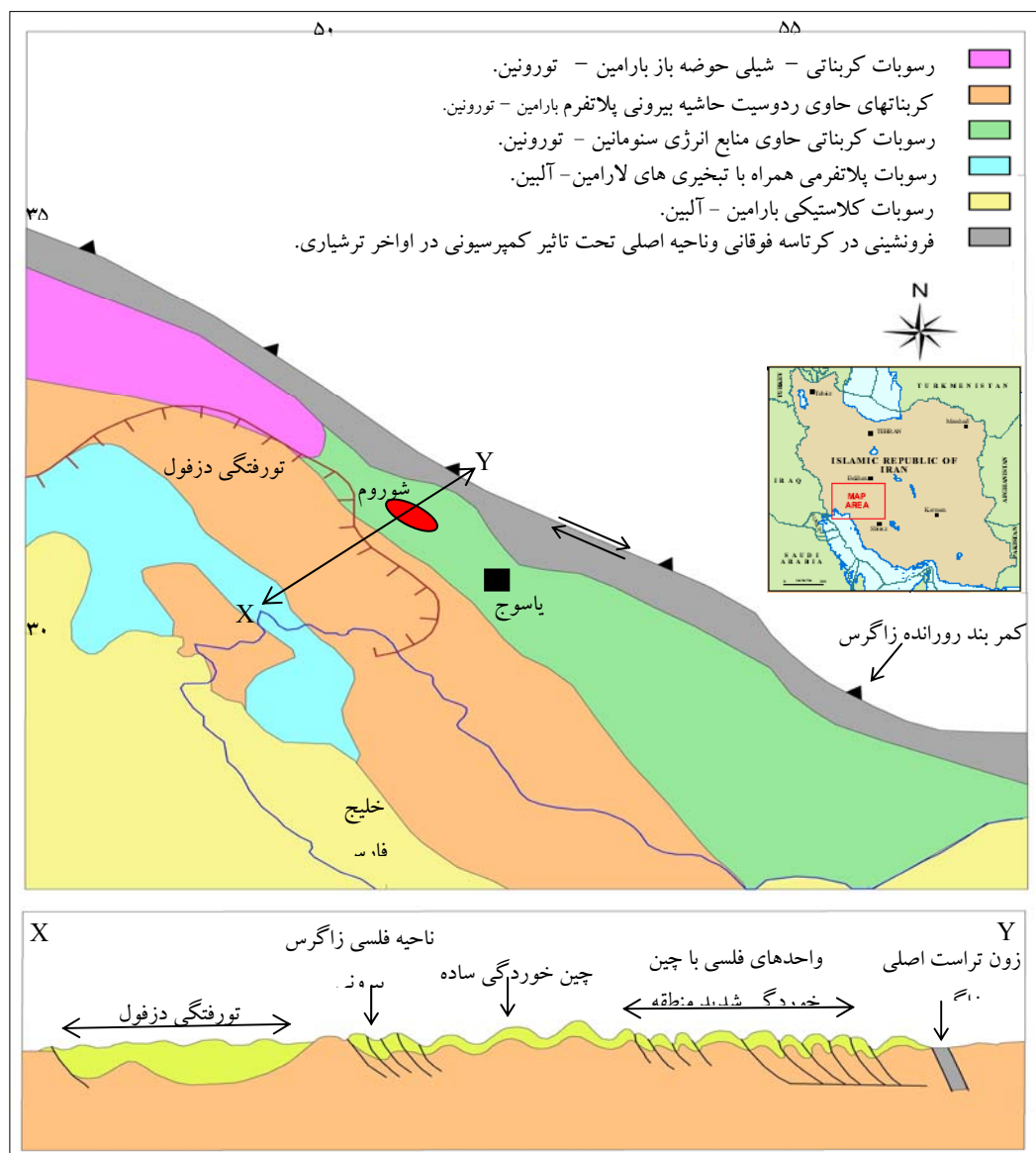
² - Imbricate

³ - Oberlander

⁴ - Pinched

⁵ - Lineaments

شکل ۱- موقعیت میدان نفتی شوروم و نمایش شماتیک تحولات زمین شناختی دوره رسویگذاری منطقه و مقطع زمین ساختی واحد های چین خوردگی ساده، فلزی و تراست زاگرس که میدان نفتی شوروم در ناحیه فلزی و تکتونیکی واقع شده است.



منبع: اقتباس از گزارش زمین شناسی و مهندسی مخزن - ECL.

برای رفع این کمبود و تبیین ملموس پیکره تاقدیس، و نیز بررسی کیفیت اشکال و گستاخی های دامنه ها و شرایط ژئوفیزیکی، با رقومی کردن نقشه توپوگرافی منطقه و انجام پردازش های مقتضی و نیز استفاده از تصویر ماهواره ای منطقه، تصویر سه بعدی^۱ این بخش از زاگرس مرتفع تهیه شد؛ به طوری که قسمت های اصلی کالبد شوروم و واحد های فلزی مجاور جنوب غرب آن را با کیفیت مناسب می توان مورد مشاهده و مطالعه قرار داد (شکل شماره ۲).

^۱- (DEM) Digital Elevation Model

شکل ۲- نمایش تصویر سه بعدی ساختمان رورانده شوروم با استفاده از تصویر ماهواره ای TM.



زمین شناسی نفت شوروم

میدان نفتی شوروم به صورت یک ساختمان تاقدیسی نامتقارن است و با ناویدیس فشرده و گسلی که رودخانه خرسان در آن جریان دارد از میدان نفتی ریگ در شمال جدا شده است. این ساختار در افق مخزنی سروک ۳۲ کیلومتر طول و ۲ کیلومتر عرض دارد. سازند آهکی آسماری - جهرم پوشش اصلی تاقدیس را تشکیل می دهد و در بخش هایی از آن سازند پابده رخنمون دارد. سنگ مخزن این میدان، سازند سروک است که به اشکوب سنومانین در بین فاصله زمانی کرتاسه زیرین و فوکانی تعلق دارد. این سازند شامل سنگ آهک با دانه های ریز و دارای درصد تخلخل ناچیزی است. تعداد هشت حلقه چاه اکتشافی بر روی این میدان حفاری شده که در افق سروک حاوی نفت با درجه مرغوبیت ${}^{\circ}\text{API}$ ۲۷ (آجیپ ۱۹۷۶، ص ۴۵) می باشد. این مخزن هیدرورکربور بر خلاف میدان نفتی مجاور خود (کوه ریگ) که دارای ستونی از گاز بر روی نفت می باشد، فاقد کلاهک گازی^۲ است. سطح تماس سفره آب و نفت در عمق (۷۵۰-) متری سطح آزاد دریا قرار دارد. به دلیل شرایط تکتونیکی و پیچیدگی ساختمانی و نیز نبود اطلاعات لرزه نگاری، تخمین ابعاد و بستگی مخزن دشوار است. بر اساس مطالعات و حفاری اکتشاف، مقدار ذخیره در جا برای آن ۱۵۸۲ میلیون بشکه محاسبه شده است (موسسه جهاد تحقیقات ۱۳۸۲، ص ۱۴). از چاه هایی که قابلیت تولید دارند روزانه بین ۲۵۰۰- ۲۰۰۰ بشکه تولید پیش بینی شده است. این میدان با توجه به وسعت و عمق دستیابی گروه دهم، برای کشف گاز در سازندهای آهکی کنگان و دالان نیز دارای الویت اکتشافی است (فرجی ۱۳۷۵، ص ۵۵).

²- American Petroleum Institute (شاخص ویسکوزیته نفت)

³- Gas cap

سکانس رسوی

سکانس رسوی شوروم از بالا تا سنگ منشأ نفت شامل سنگ آهک آسماری است که پوشش اصلی تاقدیس را تشکیل می‌دهد. این تشکیلات که در خوزستان حاوی منابع عظیم هیدرولوژی بوده و با داشتن درصد تخلخل (بین ۵ تا ۱۲) به عنوان سنگ مخزن نفت از ارزش اقتصادی بالایی برخوردار است؛ اما در این منطقه در شرایط و عمق مناسبی قرار نگرفته و از نظر هیدرولوژی کارستی دارای اهمیت است. به عنوان مثال می‌توان به چشم‌های کارستی با دبی ۳ تا ۷ متر مکعب در ثانیه نظیر آبشار آتشگاه در دامنه مشرف به رودخانه خرسان، چشم‌های برم لردگان در پلاذر غرب تاقدیس ریگ و چشم‌های سرخون اشاره کرد که سهم زیادی در تخلیه آب‌های کارستی به رودخانه کارون دارند. در زیر سازند آسماری تشکیلات مارنی پابده قرار دارد؛ به طوری که در بخش هایی از تاقدیس که پوشش آسماری در اثر عوامل مرفوژنیک فراسایش یافته (پیرامون چاه‌های ۵ و ۴) رخنمون دارد. مارن‌های ارغوانی با ضخامت نه چندان زیاد در بین پابده و گروه ایلام قرار دارد. سازند گوربی - ایلام که از آهک‌های رسی و مارن‌های آهکی تشکیل شده، سکانس بعدی است که به علت درجه تخلخل ناچیز، سنگ پوش^۱ مخزن نفت در زیر خود می‌باشد. سازند سروک حاوی ستونی از نفت در ساخت نفتگیر^۲ است. این سازند از آهک‌های خالص و شکننده با تخلخل ناچیز، شناخته می‌شود. سازند شیلی کژدمی - داریان در این میدان، سنگ منشأ^۳ نفت بشمار می‌رود؛ به طوری که منابع هیدرولوژی اغلب در این سازند پس از تکوین و تحقق فرایندهای مقتضی، به سازند فوقانی خود (سروک) مهاجرت نموده است. سکانس‌های بعدی شامل سازندهای آهکی گدوان و فهیلان هستند که در میادین نفتی ریگ و دودرا در مجاورت شمال شوروم به ترتیب سنگ مخزن می‌باشند، اما در شوروم قادر شرایط مخزنی است. ضخامت لایه‌های رسوی مذبور در مقطع تهیه شده از منطقه چاه (۵) در شکل شماره (۸) نشان داده شده و با وجود تغییرات محلی، روند آن به سمت غرب افزایش می‌یابد.

شبکه شکستگی‌ها

به طور جدی، مطالعات خواص پتروفیزیکی سنگ‌های مخازن به ویژه کیفیت تخلخل و شبکه‌های شکستگی از سال ۱۹۳۳ توسط فانچر^۴، لیویس^۵ و بارنز^۶ شروع شد. در سال ۱۹۳۴ وایکوف^۷، موسکات^۸، بوست^۹ و رید^{۱۰} بر اساس معادله ای که دارسی^{۱۱} در سال ۱۸۵۶ درباره جریان سیالات بدست آورده بود، روش اندازه‌گیری نفوذ پذیری بر روی نمونه‌های سنگ مخازن را انجام دادند (کرافت^{۱۲}، ۱۹۵۹، ص ۴). به دنبال شناخت ماهیت تخلخل و شکستگی‌ها

¹ - Cap rock

² - reservoir

³ - Source rock

⁴ - Fancher

⁵ - Lewis

⁶ - Barnes

⁷ - Wycoff

⁸ - Muskat

⁹ - Botest

¹⁰ - Reed

¹¹ - Darcy

¹² - Craft

در سازند های مخزنی، تحقیقات زیادی در علت بروز این پدیده صورت پذیرفت. حداقل چهار دسته از شبکه های درز و شکاف که دارای منشأ گوناگونی هستند، مورد شناسایی قرار گرفت (لیورسن^۱، ۱۹۶۶، ص ۱۰۶): شکستگی ناشی از فعالیت تکتونیکی و خرد شدگی^۲؛ انحلال و فرایندهای کارستی؛ ته نشینی مجدد و سیمان شدگی^۳؛ فشردگی ناشی از فشار طبقات^۴. در این مقاله از بین چهار دسته مذکور، شکستگی های تکتونیکی که در خواص پتروفیزیکی میدان نفتی شوروم حائز اهمیت ویژه ای می باشد (گرفتیس^۵، ۲۰۰۳، ص ۲۸) مد نظر است.

تا کنون پژوهش های زیادی در این زمینه انجام شده که برخی از جدیدترین آنها در حوضه های نفتی اروپا توسط ولبون^۶ (۲۰۰۱)، در حوضه های نفتی آمریکا توسط لکازیت^۷ (۲۰۰۱)، در میدان نفتی ونزوئلا توسط کارمونا^۸ (۱۹۹۷) و ... را می توان اشاره نمود. نتایج تحقیق در مناطق مذکور و به خصوص میدان دریای شمال که وجه اشتراکی با حوضه های نفتی خاورمیانه دارد، نشان داده که در پیرامون گسل های ایجاد شده در واحدهای مرغولوژی و به ویژه شکستگی هایی که تا سنگ مخزن امتداد می یابند، یک حریم خرد شده و شبکه ای از درز و شکاف با ابعاد مختلف بوجود می آید. ابعاد این حریم با توجه به شرایط ساختمانی مختلف گزارش شده و از محل گسل حداقل بین ۱۰۰ تا ۱۵۰ متر (ولبون ۲۰۰۱) در اطراف نوسان دارد. یک ناحیه استوانه ای شکل به قطر حداقل ۳۰۰ متر از لایه های رسوبی که پیوستگی واستحکام اولیه خود را از دست می دهد، مورد شناسایی قرار گرفته است. او در گزارش خود به تحقیقات آلفرد^۹ (۲۰۰۱) اشاره دارد که با بررسی لاغ های حفاری (نمودارهای الکتریکی که حین حفاری از مقاطع چاه تهیه می شود) در میدان نفتی آمریکا به نتایج مشابهی رسیده است. کارمونا جهت تزریق^{۱۰} سیال به منظور بهره برداری بیشتر از منابع هیدروکربوری میدان نفتی مارا^{۱۱} واقع در ونزوئلا، شرایط کمی و کیفی شکستگی ها را در سنگ مخزن که از ماسه تشکیل یافته مورد مطالعه دقیق قرار داده و تغییرات شبکه درز و شکاف با فاصله گرفتن از حریم گسل در میدان مزبور را مشخص کرده است.

¹- Levorsen

²- Fracturing and shattering

³- Resedimentation and cementation

⁴- Compaction because of increasing load

⁵- Griffiths

⁶- Welbon

⁷- Lacazette

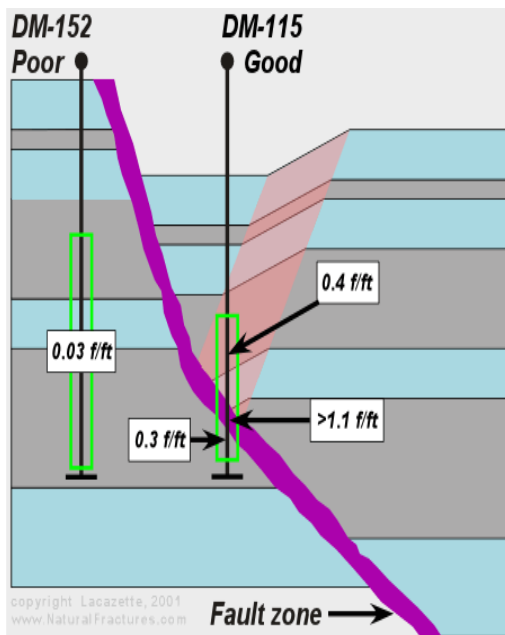
⁸- Carmona

⁹- Alfred

¹⁰- Injection

¹¹- Mara Field

شکل ۳- نمایش شماتیک کیفیت گسستگی در طبقات رسوبی و مقایسه چگالی شبکه‌های گسستگی در چاه‌هایی که در زون گسلی و دست نخورده حفر شده‌اند. در چاه DM-152 در ناحیه غیر گسلی قرار دارد. نسبت شبکه‌های گسستگی در واحد سطح $0,0^3$ این نسبت در ناحیه گسلی و خرد شده DM-115 به بیشتر از $1,1$ رسیده است. منبع: (کارمونا، ۱۹۹۷)



براساس فرض مزبور، با استفاده از مطالعات ژئومرفولوژیک و تهیه نقشه تکتونیک از میدان نفت، تأثیراتی از شکستگی تکتونیکی در عمق می‌تواند مورد ارزیابی علمی قرار گیرد. نتایج برخی از پژوهش‌ها نشان داده که از روی ساختارهای همطراز ساختمانی این امکان وجود دارد که بتوان شکستگی‌های زیر زمینی را تشخیص داد (شبان ۱۳۸۲، ص ۴۸). در شناسایی این شکستگی‌ها در لایه‌های رسوبی ضخیم از روی مغزه^۱ اغلب مشکلاتی بروز می‌کند، به طوری که با توجه به قطعات کوچک مغزی، این روش کارائی خود را از دست داده و یا نتایج مبهومی کسب می‌شود؛ چنانچه نمی‌توان ارتباط شبکه شکستگی‌ها را از روی چند مغزه مشخص کرد.

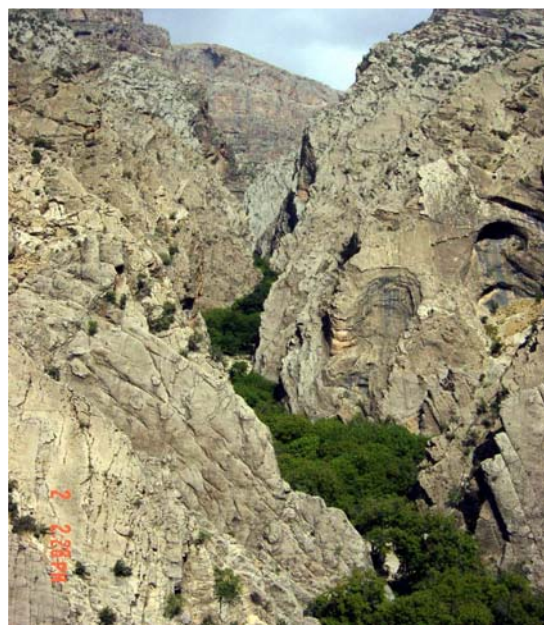
در بین بسیاری از مناطقی که مطالعات تکتونیکی و کیفیت تاثیر آن در شرایط مخزنی صورت گرفته، ساختمان شوروم نسبت به آنها دارای تفاوت‌های زیادی است. کیفیت چین خوردگی و مرفلوژی تاقدیس، تکتونیک واحد فلزی، گسیختگی‌های سطحی شدید، تأثیر تکتونیک نمک، شرایط هیدرولوژی کارستی و سفره آب مشترک و ... بخشی از این تفاوت‌ها محسوب می‌شوند.

بسیاری از گسیختگی‌های سطحی ناشی از عوامل مختلف ژئومرفوژنیک ممکن است آثارشان از ده‌ها تا صدها متر در اعماق گسترش پیدا کنند. منشاء این گسیختگی‌ها می‌تواند مختلف بوده و شامل تکان‌های آرام و تدریجی ناشی از چین خوردن طبقات، جابجایی همزمان قطعات و بلوك‌های بین گسل‌ها باشد که، عوامل گوناگون هوازدگی و فعل

¹ - Core

و انفعالات شیمیایی بخش های عمدۀ این فرایند محسوب می شوند. شکل شماره (۴) مثال خوبی از کیفیت و ابعاد واحدهای یک دامنه در کوه ریگ است که به شدت تحت تأثیر عوامل مختلف ژئومرفولوژیک، قرار دارد.

شکل ۴- نمونه ای از کیفیت اشکال ناهمواری منطقه می باشد که بر روی سازند آسماری نقش بسته است. شبکه های شکستگی سطحی، خفره های انحلالی با ابعاد مختلف، بریدگی های عمیق همراه با دیواره های تندر از ویژگی های بارز این واحد مرغولوژیک بشمار می رود. شرایط تحت الارضی و سطح الارضی دارای تفاوت های ساختاری در الگو های اشکال، نخواهد بود.



(چشمی کارستی آبشار آتشگاه در مقابل چاه های ۲ و ۷)

ابعاد گسیختگی های سطحی در جهات افقی و عمقی که سر آغاز مرغوله و تحولات ژئومرفولوژیکی بشمار می رود، بسیار متغیر است. گسیختگی پیرامون چاه های (۴ و ۵) ابعادشان تقریباً ($1 \times 3 \times 4$) کیلومتر است. بدیهی است تخلیه این مقدار از مواد از روی سنگ مخازن، فشار استاتیکی طبقات را به میزان قابل توجهی کاهش داده و دینامیک بالا آمدن و یا نیروهای کمپرسیونی جانبی را تشدید خواهد کرد. اهمیت ترک های ریز و میکرونی ایجاد شده در سازندها با منشاء مختلف نادیده گرفته شود. چه درزهایی که در اثر هوازدگی بوجود می آیند و چه آنهایی که نتیجه تنفس های قوی ولی آرام جنبش های چین خوردگی و تکتونیکی می باشند. چه بسا گسیختگی های بزرگ اشاره شده در بالا در آغاز ابعاد میکرونی داشته اند.

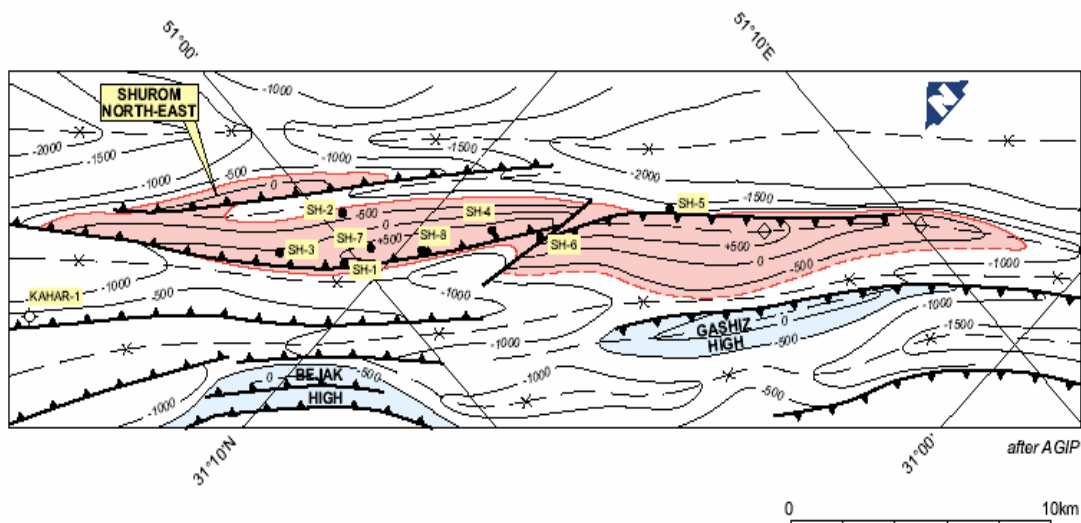
بر اساس مشاهدات صحرایی، پهنهای شکاف های سطحی از بین یک متر تا کمتر از یک میلی متر و ابعاد درز و شکاف طبقات زیرین از ده ها میکرون تا ۱۰۰ میلی متر گزارش گردیده است. اسمیت^۱، ۲۰۰۳، ص ۶۹ به دنبال انجام بازدید از میدان نفتی شوروم و استناد به شمارش ترک های رخمنون سروک که در مجاورت میدان توصیف کرده (به دلیل عمق سازند مخزنی سروک در شوروم هیچ گونه بروزند مشاهده نمی شود؛ شاید منظور وی در فاصله بین شیراز تا شوروم است) تعداد ترک های سطحی بزرگ^۲ و کوچک^۱ را ده ها تا صدها عدد در متر (تقریباً ۵۰۰ تا

¹ - Smith

² - Macrofracture

۵۰۰۰ عدد در طول ۱۰۰ پا) برآورد کرده و تراکم ترک‌های شمارش شده در سنگ‌های آسماری شوروم را بر اساس مشاهدات میدانی مک‌کوینلا^۱ (۱۹۷۳) که بین ۱۰ تا ۴۵ عدد در طول ۳۰ متر گزارش کرده بود، مورد تردید قرار داده است. بررسی‌های میدانی نگارنده صحت کمیت ارائه شده توسط اسیمیت را مورد تایید قرارمی‌دهد و معتقد است در بیان کمیت مزبور برای رخمنون‌های سطحی در معرض عوامل هوازدگی، احتیاط شده است.

شکل ۵- نقشه گسل‌های رورانده در شوروم، موقعیت چاه‌های حفاری شده نسبت به این گسل‌ها، مقطع عرضی (پنجه زمین‌شناسی) محدوده گسترش افق مخزنی سازند سروک در عمق ۵۰۰ تا (۵۰۰) متری زیر سطح دریا در این شکل دیده می‌شود. شکل هندسی نامنظم و به هم ریختگی در افق مخزنی سروک جالب توجه است. منبع: گزارش زمین‌شناسی و مهندسی مخزن- ECL .



به دلیل اهمیت گسیختگی‌های با ابعاد ریز در خواص پتروفیزیکی سازند‌ها به خصوص در پارامترهای مخزنی، الگوی ابعاد ترک‌های ناشی از گسل و فضاهای تخلخل مربوط به حفره‌های^۲ کارستی و غیره بنظر می‌رسد از محلی به محل دیگر از تاقدیس تغییرات زیادی داشته باشد که خود موضوع تحقیقی مستقل است. این الگو‌ها شامل شبکه‌ای از درزهای^۳ مویی و بسیار ریز میکرونی تا ابعاد میلی متری و بیشتر و همچنین فضاهای ایجاد شده در اثر نفوذ دی‌اکسید کربن محلول در آب در طبقات آهکی و سیکل تبدیلات کربنات کلسیم به محلول بی‌کربنات کلسیم و بر عکس (فورد^۴ ۱۹۸۹، ص ۷۸) به همراه دیگر عوامل، ممکن است. برای این منظور اسیمیت مدل شماتیکی زیر را (شکل شماره ۶) جهت نمایش انواع شبکه‌های شکستگی و فضاهای خلل و فرج موجود در سازند مخزنی سروک در میدان نفتی شوروم پیشنهاد کرده است. الگوی‌های مورد تأکید اسیمیت تنها بخش قابل رویت این فضاهای خالی در مغزه‌ها و مشاهدات میدانی می‌باشد که با ذوق هنر گرافیکی که به خرج داده، چنین مدلی را

¹ - Microfracture

² - McQuinlla

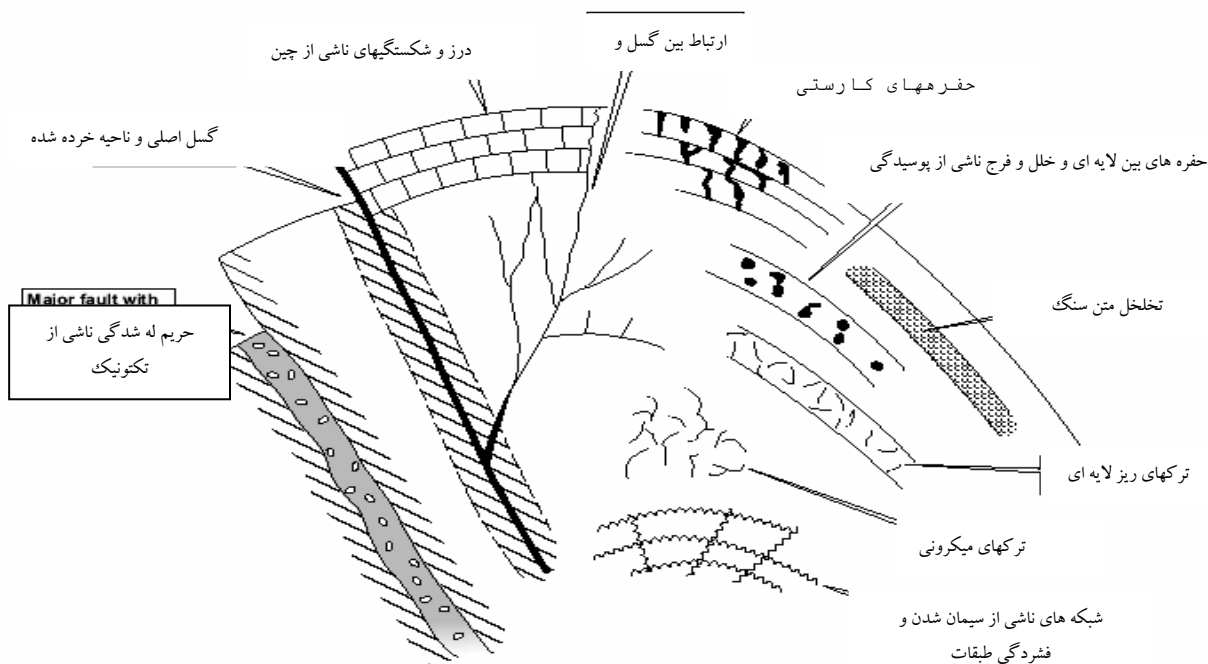
³ - Vuggy

⁴ - Crake

⁵ - Ford

ترسیم کرده است. بدینهی است ظرفات و پیچیدگی ساخت های مینیاتوری طبیعی، الگوهای گسترده ای را در بر خواهد داشت.

شکل ۶- شماتیک الگوهای مختلف انواع فضاهای تخلخل و شکستگی در سکانس رسوبی سروک که از روی گزارشات حفاری آجیب و مشاهدات صحرایی، تهیه شده است. (اسمیت، ۲۰۰۳، ص ۲۹) تهیه شده را نشان می دهد.



قابلیت نفوذپذیری

شرایط کمی و کیفی شبکه های درز و شکاف، جدای تاثیری که می تواند در بسیاری از پارامترهای مخزنی منعکس سازد، اثر عمده اش می باشد در میزان قابلیت نفوذپذیری مورد ارزیابی قرار گیرد. معیار سنجش و واحد اندازه گیری میزان قابلیت نفوذپذیری در یک سازند، قانون دارسی است و واحد آن میلی دارسی^۱ می باشد. برای این منظور، روش های مختلفی رایج است. مشاهده ترک های موجود در مغزه های حفاری و تزریق مایعاتی چون جیوه در آنها در شرایط آزمایشگاهی، نمودار گیری، نمودار الکتریکی^۲، نمودار شبی سنج^۳ نمودار ترکیبی صوتی و مقاومت سنج (شبان، ۱۳۸۲، ص ۶۵)، از جمله تکنیک های رایج در این زمینه به شمار می روند. هر یک از روش های اشاره شده مزیت های خاص خود را دارند. بطور مثال، بررسی و مشاهده مستقیم شکستگی ها و ترک های بوجود آمده در مغزه

^۱- واحد نفوذپذیری، دارسی (1856) می باشد که در آن سیال با ویسکوزیته یک سانتی متر در ثانیه تحت شبی فشار یک اتمسفر بر سانتی متر، در درون فضای تخلخل سازند جریان داشته باشد، نفوذ پذیری این سنگ یک دارسی خواهد بود. چون این واحد برای اکثر سنگ ها واحد نسبتاً بزرگی است، معمولاً یک هزارم آن را که میلی دارسی (md) نامیده می نامند، واحد نفوذ پذیری قرار می دهنند. نفوذ پذیری نفت و گاز در مخازن ماسه سنگی از چند میلی دارسی تا چند هزار میلی دارسی تغییر می کند.

^۲ - BHTV (Bore hole Tele viewer)

^۳ - Dip meter log

هاو اندازه گیری ابعاد آنها به عنوان یک نمونه دست نخورده از مقاطع چاه و طبقات رسویی، یکی از مطمئن‌ترین روش‌های معمول می‌باشد اما، استفاده از این تکنیک در طبقات رسویی ضخیم دشوار و در قطعیت نتایج آن ابهاماتی بروز می‌کند. اغلب، از طریق پردازش داده‌های حاصل از روش‌های مذبور و یا اطلاعات لرزه نگاری، از مشخصات پتروفیزیکی مخازن و سیالات آن مدل تهیه می‌شود. با وجود مزیت‌های فراوان نمایش گرافیکی و یا سه بعدی برخی شرایط مخزنی، در بررسی نتایج احتیاط بیشتر، لازم است. بویژه زمانی که فاکتورهای مانند برآورد ابعاد هندسی و میزان و کیفیت فیزیکی سیالات مخزنی و نیز پارامترهای مهمی چون تخلخل و قابلیت نفوذ پذیری که تاثیر اساسی در بهره‌برداری از منابع هیدروکربوری دارد، مطرح باشد. یکی از تکنیک‌های عملی و قابل اطمینان در شناخت کمی و کیفی شبکه‌های درز و شکاف سنگ مخازن و کمیت‌های مربوط به قابلیت نفوذ پذیری آن، بررسی میزان هدر رفتن گل حفاری^۱ و ناپدید شدن گل در گردش^۲ در طی عملیات حفاری^۳ چاه است.

هدر رفتن گل حفاری

در سیستم حفاری^۴ برای خارج ساختن بریده‌های سنگ‌ها از مقاطع چاه‌ها، متناسب با مشخصات لیتلولوژیک و شرایط زمین شناختی منطقه، یک سیستم گردش گل حفاری با فرمولاسیون مشخص و مایعات مبتنی بر پایه آب یا مشتقات نفتی نظری روغن و یا گازوئیل همراه با دیگر ترکیبات مایع و افروزدنی‌های^۵ جامد به عنوان پرکننده^۶، با رئولوژی^۷ مناسب تهیه می‌گردد و همزمان با چرخش مته حفاری، با فشار بیشتر از فشار طبقات و سیالات درون چاه، به گردش در می‌آید تا از یک طرف ضایعات و براده سنگ‌های خرد شده را از چاه خارج سازد و از طرف دیگر، مانع از ریزش سازندهای سست، و مسدود شدن چاه قبل از نصب لوله‌های جداری^۸ گردد. با توجه به مشخصات پتروفیزیکی طبقات رسویی، در سیکل مذکور بطور طبیعی به میزان اندکی از گل حفاری در فضاهای تخلخل و شبکه‌های درز و شکاف، راه یافته و از سیکل حفاری خارج می‌شود. این مسئله در برخی از طبقات رسویی که دارای شبکه گسترده‌ای از درز و شکاف باشد، می‌تواند به یک معضل در عملیات حفاری تبدیل گردد. بطوریکه، تمام گل به هدر رفته و یا تامین گل و فشار مورد نیاز، با مشکل اساسی مواجه شود. در این صورت، توسط مهندسان حفار در ترکیب فرمولاسیون گل تجدید نظر شده و از عناصر معدنی یا آلی که به مسدود شدن شبکه کمک کند، استفاده می‌گردد.

حجم هدر رفت و نوسان گل در گردش عملیات حفاری اکتشاف هشت حلقه چاه نفت در میدان شورووم در گزارش روزانه ثبت شده است. از بین هشت حلقه چاه مذبور، با توجه به موقعیت چاه‌های^۹ ۶ و ۷ (شکل شماره ۱) که به ترتیب در قسمت‌های جنوبشرقی، وسط، و شمال غربی تاقدیس واقع شده‌اند، انتخاب و مورد بررسی قرار

¹ - Mud loss

² - Lost circulation

³ - Drilling

⁴ - Rig

⁵ - Additives

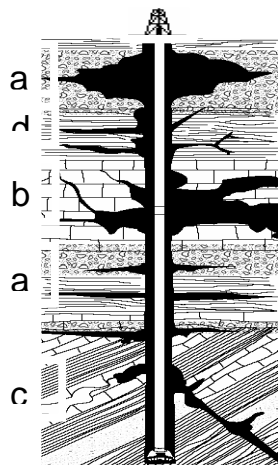
⁶ - Filler

⁷ - Rheology

⁸- Casing

گرفت و نتایج در جداول شماره (۱، ۲ و ۳) به صورت جداگانه برای هر یک از چاه های مذکور نشان داده شده است. در صد جامد گل مورد استفاده در حفاری بین ۳ تا ۴ در صد و چگالی آن بین ۱,۰۵ تا ۱,۰۷ گرم بر سانتی متر مکعب گزارش شده است (آجیپ ۱۹۷۲، ص ۷).

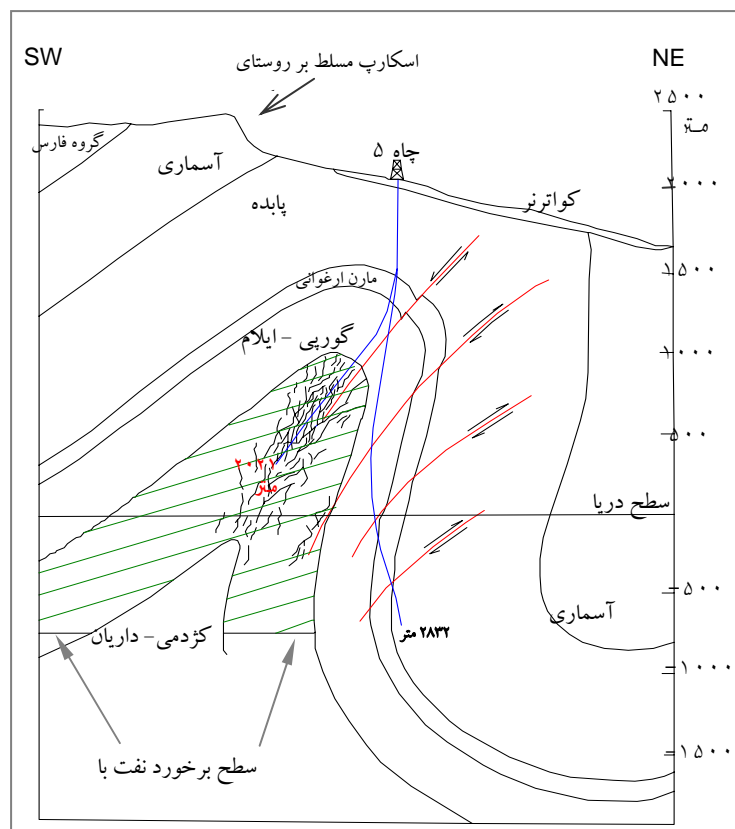
شکل ۷- نمایش شماتیک از دست رفتن گل حفاری در مقاطع زمین شناسی چاه و طبقات رسوبی.



a، سازندهایی منفصل و یا با سیمان ضعیف.
b، سازند های آهکی دارای حفره های انحلالی.
c، طبقاتی که در اثر گسل شکسته و خرد شده است. و
d، ناحیه که در اثر فشار طبقات له گردیده است.

منبع: Drilling Fluids Engineering Manual

شکل ۸- مقطع زمین شناسی چاه شماره ۵ در بخش های رورانده شوروم را نشان می دهد. مقطع از سازندهای مختلف زمین شناسی را قطع و در عمق ۲۸۳۲ به دلیل داخل شدن مجده مارن و پابده، در مسیر حفاری انحراف داده شده و در عمق ۲۰۲۱ در سازند مخزنی سروک به الیت اکتشافی رسیده است. کیفیت چین خوردگی و تاثیر گسل های ناشی از نیروهای زمین ساختی در سنگ پوش و سنگ مخزن قابل مشاهده است. (ترسیم توسط نگارنده از روی گزارشات حفاری آجیپ، ۱۹۷۲).



جدول شماره ۱ گزارش هرز روی مقدار حجم گل حفاری در چاه انحرافی ۵ (شکل شماره ۲) را نشان می‌دهد. با وجود اینکه این چاه در مرکز بزرگ ترین گسیختگی سطحی حفاری شده است، به دلیل خواص پتروفیزیکی سازند مارنی پابده حجم گل حفاری هدر رفته در طبقات سطحی آن ناچیز است. اما روند مذکور در عمق ۵۴۰ تا ۵۴۸ و نیز ۵۵۶ تا ۵۸۹ تغییر کرده و حجم گل هرز رفته به بیشترین میزان خود یعنی ۳۰ متر مکعب به ازای هر یک متر عمق حفاری می‌رسد. این امر نشان دهنده برخورد این چاه به یک ناحیه به شدت گسسته‌ای است که به وسیله گسل در سازند پابده ایجاد گردیده است. در سازند پابده در عمق ۶۰۴ متری، افت حجم گل در گردش به ۲۵ متر مکعب می‌رسد. هدر رفت گل در سازند مخزنی سروک، افزایش یافته و در عمق ۲۰۲۱ متری از سطح بیشترین مقدار هرز روی گل حفاری ۶۰ تا ۶۵ متر مکعب گزارش شده است (شکل شماره ۸).

جدول ۱- از دست رفتن و کاهش حجم مقدار گل حفاری در گردش در چاه شماره ۵ (شکل شماره ۱).

چاه شماره ۵ شوروم			
عمق لایه رسوبی (متر)	سازند زمین‌شناسی	هر رفت گل (M^3)	ملاحظات
35	Recent	7	During drilling
45	Recent	4	During drilling
41-475	Pabdeh	75	During drilling
479-526	Pabdeh	225	During drilling
526	Pabdeh	50	During casing job
540-548	Pabdeh	120	During drilling
556-589	Pabdeh	600	During drilling
589-604	Pabdeh	180	During drilling
604	Pabdeh	25	During cement job
1486-1491	Sarvak	10	During drilling
1491	Sarvak	10	During logging
1491-1515	Sarvak	5	During drilling
1515-1541	Sarvak	15	During drilling & coring
1541-1546	Sarvak	10	During drilling
1546	Sarvak	80	During acidizing job
1546-1873	Sarvak	745	During drilling
1873	Sarvak	60	During logging
1873-1954	Sarvak	170	During drilling & coring
1954-2021	Sarvak	175	During drilling
2021	Sarvak	60	During logging
2021	Sarvak	65	During cushion plug

(شرکت نفت، میدان نفتی زاگرس مرکزی، گزارش آجیپ، ۱۹۷۲)

جدول شماره ۲ گزارش خلاصه شده هدر رفت گل در چاه ۶ (شکل شماره ۲) می‌باشد که در نوع خود بسیار زیاد است. دلایل هرزروی بیش از حد گل را می‌توان به فاکتورهای مهمی چون موقعیت این چاه در محور و مرکزیت

هندسه تاقدیس، قلمرو فعالیت سه دسته از گسل های شمالی جنوبی در مجاورت چاه، گسل معکوس در ناحیه غرب، و گسل روراند در ناحیه شرق آن در رابطه گذاشت. این چاه در یک ناحیه پر تنش از دیدگاه نیروهای زمین ساختی حفر گردیده است و احتمالاً در عمق حدود ۲۳۰۰ متری وارد یک ناحیه خرد شده می گردد و سپس یک گسل را قطع و از آن عبور می کند. علت افزایش هرز روی گل حفاری نیز به دلیل گسترش شبکه های اصلی و فرعی ناشی از خرد شدگی در عمق ۲۳۱۷ تا ۲۳۳۱ متری از سطح زمین می باشد که قریب ۳۰ متر مکعب به ازای هر یک متر حفاری گزارش گردیده است.

جدول -۲- از دست رفتن و کاهش حجم مقدار گل حفاری در گردش در چاه شماره ۷ (شکل شماره ۱).

چاه شماره ۷ سوروم			
عمق لایه رسوبی(متر)	سازند زمین شناسی	هدر رفت گل (M^3)	ملاحظات
17-36	Asmari	50	During drilling
2373-2469	Gurpi	88	During drilling
2510	Sarvak	16	During logging
2590-3023	Sarvak & Repeat Gurpi	1503	During drilling
2797	Repeat Gurpi 1	164	During logging
2929	Repeat Gurpi 2	70	During fishing job
2932	Repeat Gurpi 3	54	During logging

(شرکت نفت، میادین نفتی زاگرس مرکزی، گزارش حفاری آجیپ، ۱۹۷۶)

چاه ۷ (شکل شماره ۲) در بخش های غرب تاقدیس و بر روی محور حفاری شده است. هدر رفت گل حفاری (جدول شماره ۳) در پوشش لیتولوژیکی سطح تاقدیس، به علت هوازدگی شدید و توسعه درز و شکاف در سازند آسماری می باشد. شدید ترین میزان افت حجم گل ذخیره نزدیک به ۱۹ متر مکعب به ازای یک متر حفاری در عمق بوده که احتمالاً مقطع چاه وارد یک ناحیه خرد شده گسلی واقع در بین این چاه و چاه ۲ در مجاورت شمال می شود.

جدول -۳- گزارش خلاصه شده هدر رفت گل در چاه ۶ (شکل شماره ۲) می باشد که در نوع خود بسیار زیاد است. دلایل هر ز روی بیش از حد گل را می توان به فاکتورهای مهمی چون، موقعیت این چاه در محور و مرکزیت هندسه تاقدیس، قلمرو فعالیت سه دسته از گسل های شمالی جنوبی در مجاورت چاه، گسل معکوس در ناحیه غرب، و گسل روراند در ناحیه شرق آن در رابطه گذاشت. این چاه در یک ناحیه پر تنش از دیدگاه نیروهای زمین ساختی حفر گردیده است؛ احتمالاً در عمق حدود ۲۳۰۰ متری، وارد یک ناحیه خرد شده می گردد و سپس یک گسل را قطع و از آن عبور می کند؛ علت افزایش شدید هرز روی گل حفاری نیز به دلیل گسترش شبکه های اصلی و فرعی ناشی از خرد شدگی در عمق ۲۳۱۷ تا ۲۳۳۱ متری از سطح زمین می باشد که قریب ۳۰ متر مکعب به ازای هر یک متر حفاری گزارش گردیده است.

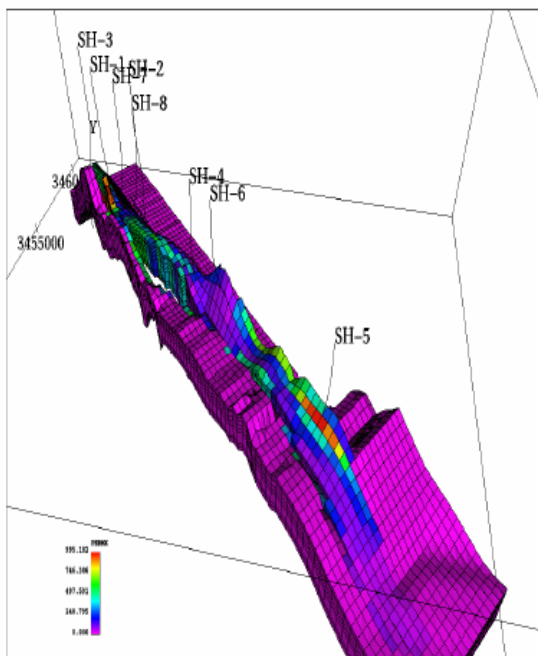
جدول ۳- از دست رفتن و کاهش حجم مقدار گل حفاری در گردش در چاه شماره ۶ (شکل شماره ۱).

چاه شماره ۶ شوروم			
عمق لایه رسوبی (متر)	سازند زمین شناسی	هدر رفت گل (M^3)	ملاحظات
160	Asmari	25	During drilling
208	Asmari	90	During drilling
208-1166	Pabdeh	Partial losses	During drilling
1871	Gurpi	Complete losses	During drilling
2045	Gurpi	50	During fishing
2045	Gurpi	No returns	During logging
2081	Sarvak	Complete losses	During drilling
2081-2094	Sarvak	140	During drilling
2085	Sarvak	Complete losses	During drilling & cementing
2094-2096	Sarvak	60	During drilling
2096-2115	Sarvak	150	During drilling
2115-2137	Sarvak	300	During drilling
2137-2158	Sarvak	360	During drilling
2158-2166	Sarvak	150	During drilling
2166-2192	Sarvak	200	During drilling
2192-2211	Sarvak	300	During drilling
2211-2233	Sarvak	250	During drilling
2233-2250	Sarvak	300	During drilling
2250-2268	Sarvak	400	During drilling
2268-2289	Sarvak	480	During drilling
2289-2317	Sarvak	510	During drilling
2317-2331	Sarvak-Gurpi	400	During drilling

(شرکت نفت، میدان نفتی زاگرس مرکزی، گزارش حفاری آجیپ، ۱۹۷۲)

شکل شماره (۹)، نمایش سه بعدی سازند مخزنی سروک و میزان قابلیت نفوذ پذیری سیال در آن را نشان می دهد. بیشترین کمیت در مناطقی از هندسه تاقدیس وجود دارد که با محور و یا حریم گسل ها منطبق است و میزان آن در نواحی که دچار شکستگی بیشتری شده اند، بالغ بر ۱۰۰۰ میلی دارسی دیده می شود. این میزان در نوع خود قابلیت نفوذ پذیری بالائی را در بخش هایی از مخزن اثبات می کند.

شکل ۹- نمایش سه بعدی سازند مخزنی سروک و قابلیت نفوذپذیری آن در بخش های مختلف تاقدیس را نشان می دهد.



در جنوب چاه های ۵، ۷ و ۸
بیشترین قابلیت نفوذپذیری
مشاهده می شود؛ این مناطق
در واقع با بخش های از زون
خرد شده و بیشترین تنش های
وارده بر محور تاقدیس تطابق
دارد.
منبع: گزارش زمین شناسی و
مهندسی مخزن- ECL.

نتایج

شرایط مرغولوژیک ساختمان شوروم و کیفیت تحول دامنه ها به ویژه دامنه شمالی، حاکی از غلبه ژئودینامیک درونی به عوامل و مرغولوژیک بیرونی است. شب تند دامنه مزبور، گسیختگی های شدید سطوح، اسکارپ های بلند و واریزه های فعال پای آنها، دینامیک رودخانه خرسان با مکانیسم های کاوش و حمل از نشانه های شرایط پژومرفیک بشمار می روند. نتایج بررسی و پردازش اطلاعات بدست آمده از حفاری ۸ حلقه چاه اکتشافی نشان می دهد که پارامترهای مهم مخزنی این میدان از تحولات و عوامل مزبور مصون نمانده و متناسب با موقعیت آنها در هندسه تاقدیس، تغییراتی را متحمل شده اند. بیشترین میزان هدر رفت گل حفاری در چاه هایی که در محور تاقدیس (چاه های ۴، ۳ و ۷) حفاری شده (شکل شماره ۱) و یا در حریم گسل هایی که با گسترشگی های سطحی همراه هستند، اتفاق افتاده است. از اینرو باید نتیجه گرفت که بیشترین تراکم از شبکه شکستگی های نیز منطبق بر محور تاقدیس بوده و به سمت شبیل یال ها از پراکندگی آنها کاسته می شود. بر این اساس بنظر می رسد که شدیدترین تنش های زمین ساختی در محور و مرکز هندسی تاقدیس متمرکز باشد.

دومین فاکتور مهم هدر رفت گل حفاری و مآلأً، در گسترش شبکه گسترشگی ها، حریم فعالیت گسل ها است که دامنه قلمرو آنها احتمالاً از شعاع ۲۰۰ متر تجاوز نموده و کمیت مزبور، در نواحی صفحات گسلی نزدیک به هم (چاه های ۵، ۷ و ۸) احتمال دارد تا ۳۰۰ متر نیز پراکندگی داشته باشد. مقاطع چاهی که از چنین حریم و به موازات صفحه گسل عبور نموده در واقع زون خرد شده را قطع کرده که به دلیل متلاشی شدن سنگ، هرز روی گل حفاری بیشترین مقدار را نشان می دهد (چاه های ۱، ۲، ۵ و ۸).

در ناحیه تلاقی مقطع چاه با خط گسل، به ویژه از نوع تقاطع مورب (نه عمود) (در شکل شماره ۸ چاه انحرافی ۲۰۲۱ متری در داخل سازند مخزنی سروک با گسل فوکانی چنین وضعیتی دارد)، شدیدترین حالت از دست رفتن گل ثبت شده (چاه‌های ۱، ۵ و ۷).

ناحیه تماس دو سازند مختلف زمین شناسی و همچنین سکانس‌های فرعی مربوط به سازند آهکی سروک نیز با هرز روی گل حفاری زیادی روبرو بوده که حاکی از وجود شبکه‌های درز و شکاف زیاد در ناحیه لایه مرزی سکانس‌های رسوبی است. احتمالاً شکستگی‌ها در سازند مخزنی سروک، به دلیل خواص شیشه‌ای آهک‌های ان تشیدید شده است. این مسئله در بین سازند آسماری و پابده و گورپی-سروک که بعضًا به از دست رفتن تمام حجم گل در گردش منجر شده نیز تطابق نشان می‌دهد.

سرانجام برخلاف تخلخل اولیه ناچیز سازند مخزنی سروک (۲ درصد حجم سنگ) که توجیه اقتصادی لازم را به منظور بهره برداری از این میدان نشان نمی‌دهد، شبکه شکستگی‌ها و پارامترهای مربوط به تخلخل ثانویه در ابعاد گوناگون، کمبودهای خلل و فرج اولیه متن^۱ سنگ را در این میدان جبران نموده و لذا با حصول اطمینان لازم از حجم و ابعاد بستگی مخزن، توسعه آن دارای توجیه اقتصادی خواهد بود. با وجود شرایط مرفولوژیک و سخت کوهستانی که انجام عملیات لرزه نگاری به منظور حصول اطمینان کافی را با دشواری‌هایی مواجه می‌سازد، پژوهش‌های ژئومرفولوژیک و زمین شناسی سطح الارضی می‌تواند در شناخت مشخصات مخزنی و رفع ابهامات بر سر راه توسعه این میدان مفید واقع شود.

منابع و مأخذ:

- ۱- بررسی پتانسیل هیدرو کربوری استان چهارمحال بختیاری (۱۳۸۲)، موسسه جهاد تحقیقات، گره پژوهه‌های نفتی.
- ۲- تقدور، ابرلندر (۱۳۷۹)، رودخانه‌های زاگرس از دیدگاه ژئومرفولوژی، مترجمان: دکتر معصومه رجبی و دکتر احمد عباس نژاد، چاپ دانشگاه تبریز.
- ۳- شبان، علی (۱۳۸۲)، تحلیل شکستگی‌های تحت الارضی و تاثیر آن به مهاجرت سیال در مخزن آسماری گچساران، رساله کارشناسی ارشد، استاد راهنمای دکتر سید احمد علوی، دانشگاه بهشتی.
- ۴- فرجی، مردان و همکاران (۱۳۷۵)، پژوهه مطالعات اکتشافی ناحیه فارس، گزارش زمین شناسی شماره ۱۸۴۴.
- ۵- رجائی، عبدالمجید (۱۳۷۱)، تحلیل برخی از مکانیسم‌های مرفوژن در ارتباط باویژگی‌های سنگ‌های متراکم، پژوهش‌های جغرافیایی، شماره ۳۰، دانشکده جغرافیا، دانشگاه تهران.
- ۶- درویش زاده، علی (۱۳۷۰)، زمین شناسی ایران.

7- AGIP,(1972):TIME ANALYSIS FOR SHUROM WELLS, P.7

اکتشاف و تولید.

8- AGIP,(1976):ANALYSIS OF PRODUCTIVE POSSIBILITIES OF THE WLLES,P.45.

¹- Matrix

- 9- A. I. LEVORSEN,(1966): GOLOGY OF PETROLEUM, PP, 132-156.
- 10- B. C. CRAFT & M. F. HAWKINS, 1959: PETROLEUM RESERVOIR ENGINEERING.
- 11- ALUN GRIFFITHS, (2003): BASIC RESERVOIR ENGINEERING, (OEID CO. ECL) گزارش زمین شناسی و مطالعات مهندسی مخزن.
- 12- ALUN GRIFFITHS, (2003):CENTRAL ZAGROSS RESERVOIR SIMULATION, (OEID CO. ECL) گزارش زمین شناسی و مهندسی مخزن.
- 13- A. LACAZETTE, (2000): NATURAL FRACTURE NOMENCLATURE, DISK 1, 13 PAGES, IN L.B. THOMPSON (EDITOR)
- 14- ATLAS OF BOREHOLE IMAGES, AAPG DATAPAGES DISCOVERY SERIES 4, AMERICAN ASSOCIATION OF PETROLEUM GEOLOGISTS, TULSA (2 COMPACT DISKS).
- 15- GEOFF SMITH, (2003): CENTRAL ZAGROSS GEOLOGICAL EVALUATION.
- 16 - D. FORD & P. WILLIAMS, (1989): KARST GEOMORPHOLOGY AND HYDROLOGY.
- 17- DRILLING FLUIDS ENGINEERING MANUAL VERSION 2.0 - 04/2001.
- 18- MCQUILLAN, H., (1973): SMALL-SCALE FRACTURE DENSITY IN ASMARI FORMATION OF SOUTHWEST IRAN AND ITS RELATION TO BED THICKNESS AND STRUCTURAL SETTING. AAPG BULL. 47.
- 19- WELBON, (2001): SPATIAL DISTRIBUTION OF LARGE AND SMALL SCALE FAULT SYSTEMS IN SANDSTONE RESERVOIRS: AN OUTCROP STUDY, ALASTAIR WELBON, ALASTAIR BEACH, PAUL BROCKBANK, LAWSON BROWN, STEVE KNOTT, AND JEAN MCCALLUM, ALASTAIR BEACH ASSOCIATES LIMITED STEEN, OYVIND (1),
- 20- WALMANN, THOMAS (2)&ANDRESEN, ARILD (1),
(2001):CHARACTERISTICS OF FAULT AND FRACTURE POPULATIONS ASSOCIATED WITH EXTENSIONAL FAULTS ON TRAILL Ø, EAST GREENLAND. DEPARTMENT OF GEOLOGY, UNIVERSITY OF OSLO, P.B. 1047, BLINDERN, 0316 OSLO.
DEPARTMENT OF PHYSICS, UNIVERSITY OF OSLO, P.B. 1048,
BLINDERN, 0316 OSLO.
- ۲۱- نقشه های توپو گرافی مقیاس ۵۰۰۰۰، ۲۵۰۰۰۰، ۵۰۰۰۰۰، نقشه زمین شناسی مقیاس ۲۵۰۰۰ شیت بروجن، تصویر ماهواره ای TM تهیه شده در سال ۱۹۹۸، و دیگر استاناد فنی طرح توسعه میادین نفتی زاگرس مرکزی، موجود در بایگانی فنی شرکت Oeid وابسته به شرکت نفت و مجری طرح توسعه میادین مزبور، و موسسه جهاد تحقیقات همکار ایرانی شرکت انگلیسی PETROFAC، مشاور طرح توسعه میادین زاگرس. JTG